

京都大学工学部 正員 広島 勝

## 1. 研究概要

重力ダムに作用する地盤動水圧の解析において、従来、ダム貯水池の形状や貯水量を複数十もの因子なく、ほとんど半強限域と仮定して考慮されてきた。本研究は、ダム貯水池を有限長のものと仮定して、貯水池形状による貯水量に注目し、動水圧の性状に影響を及ぼすこれらは影響因子との関連性を統計的・実験的に考察したものである。

## 2. 理論的考察

図-1に示すようにモデル化された重力ダムと貯水池と共に、同一位相で潮流方向に水平面強振動を行なう場合に、圧縮性を考慮した水の運動は、固有の子午方向の波动方程式によって規定される。

$$\frac{\partial^2 \phi}{\partial x^2} + \frac{\partial^2 \phi}{\partial z^2} - \frac{1}{C^2} \frac{\partial^2 \phi}{\partial t^2} = 0$$

$\omega = V$ ,  $\phi$ : 運動位相  $\psi$ ,  $C = C = \sqrt{\rho g}$  水中音速

表面波の影響を無視して、式(2)に示す境界条件を満足する解として式(3)を得る。

$$\left. \begin{aligned} \frac{\partial \phi}{\partial t} &= 0, \quad \left. \frac{\partial \phi}{\partial x} \right|_{z=0} = 0, \quad \left. -\frac{\partial \phi}{\partial z} \right|_{z=0} = \frac{k_0 g}{\omega} \cos \omega t \\ \left. -\frac{\partial \phi}{\partial x} \right|_{z=0} &= \frac{k_0 g}{\omega} \cos \omega t \end{aligned} \right\} \quad (2)$$

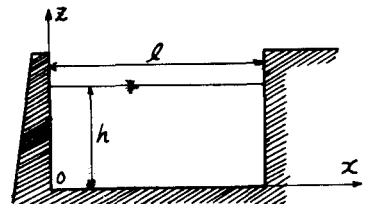


図-1 重力ダムのモデルと座標

$$\sigma = \rho \frac{\partial \phi}{\partial t} = \sum_{m=0}^r (-1)^{m+1} \frac{2 k_0 p g}{d_m \beta_m h} \cdot \frac{\sin \beta_m (\frac{h}{2} - z)}{\cos \beta_m \frac{h}{2}} \cdot \cos \omega t \sin \omega t + \sum_{m=r+1}^{\infty} (-1)^{m+1} \frac{2 k_0 p g}{d_m \beta_m h} \cdot \frac{\sinh \beta_m (\frac{h}{2} - z)}{\cosh \beta_m \frac{h}{2}} \cdot \cos \omega t \sin \omega t \quad (3)$$

$\omega = V$ ,  $\sigma$ : 動水圧,  $\rho$ : 水の密度,  $d_m$ :  $d_m = (2m+1)\pi/2h$  ( $m=0, 1, 2, \dots$ ) 地盤小波の固有値,  $\beta_m = \sqrt{(m\pi)^2 - d_m^2}$ ,  $\beta'_m = \sqrt{d_m^2 - (m\pi)^2}$ ,  $r$ :  $d_m < (m\pi)^2$  を満足する  $m$  の最大値である。

ダムに作用する動水圧の最大値は、式(2)に  $z = 0$  と  $z = h$  で算出される。また、ダムに作用する全動水圧の最大値は、上式を正方向に 0 から  $h$  まで積分することでによって、つぎのように求められる。

$$P_0 = - \sum_{m=0}^r \frac{2 k_0 p g}{d_m \beta_m} \cdot \tanh \frac{\beta_m l}{2} - \sum_{m=r+1}^{\infty} \frac{2 k_0 p g}{d_m \beta_m} \tanh \frac{\beta_m l}{2} \quad (4)$$

動水圧に及ぼす水の圧縮性の影響は式中の  $\beta_m$ ,  $\beta'_m$  に反映される。すなわち、水の圧縮性の影響は、地盤周期、水深、水中音速の相間関係により左右される。図-2  $V = \text{水の} \beta_m$  の関係を示した。右側の、水深 ( $h$ ), 地盤周期 ( $T$ ), 中水音速 ( $C$ ) の 3 要素、 $hT > C/4$  の関係に従う場合では、 $\beta_m$  を含む第 1 項による動水圧も現れられ、水の圧縮性の影響は大きい。逆に、 $hT > C/4$  の関係に従う場合では、 $\beta_m$  を含む第 1 項は現れないが、 $\beta_m$  を含む第 2 項のみによる動水圧が作用する。一般に  $V = \text{水の} \beta_m$  は、水の圧縮性による影響は大きいほど、値は大きい。 $V = \text{土}, \text{砂},$

$h/T = 5/8$  の直線を仮定し、 $h/T$  の関係式に不適な直線よりも上の領域では、水の圧縮性の影響を考慮するべしであり、直線よりも下の領域では、水の圧縮性の影響は無視できるとした。この仮定は、つきに述べる数値計算例の結果をよく説明できるので、以後参考である。また、水の圧縮性に対する有効共振周期はつづいて検討したが、その周期は、従来の無限地盤にて解析した道よりも小さくなる。しかも、第2次以上の高次の共振周期が、第1次共振周期に接近していく場合もあり、耐震的見地、従来問題とは異なる。太高次の共振点とも考慮する必要がある。水深100 mのためを対象として共振周期を計算した例を表-1に示す。

表-1 共振周期

C m <sup>n</sup>	$h/m$	2.0			10.0				
		0	1	2	3	0	1	2	3
1400	0	0.202	0.079	0.056	0.040	0.280	0.245	0.202	0.166
	1	0.090	0.067	0.049	0.037	0.075	0.073	0.070	0.066
	2	0.056	0.046	0.039	0.032	0.077	0.076	0.076	0.075
	3	0.040	0.038	0.033	0.029	0.061	0.060	0.060	0.060
1450	0	0.195	0.087	0.064	0.049	0.271	0.237	0.195	0.160
	1	0.086	0.065	0.047	0.036	0.072	0.070	0.066	0.062
	2	0.054	0.047	0.039	0.032	0.075	0.073	0.071	0.070
	3	0.039	0.036	0.032	0.028	0.079	0.079	0.079	0.079
1500	0	0.189	0.089	0.067	0.053	0.269	0.239	0.189	0.156
	1	0.088	0.067	0.046	0.035	0.079	0.077	0.076	0.071
	2	0.052	0.046	0.038	0.031	0.073	0.073	0.073	0.071
	3	0.038	0.035	0.031	0.027	0.079	0.079	0.079	0.079

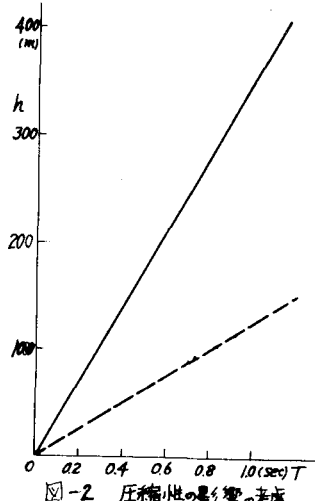


図-2 圧縮性の影響の考察

### 3. 数値計算例による考察

水深を100 mとし、貯水池容量( $V$ )と水深比 $h/h$ が2.0, 10.0の2つの貯水池をとり、速度の影響を考慮して水池容量を1400 m/sec, 1450 m/sec, 1500 m/secに設定して、地震周期1.0 sec, 0.5 sec, 0.2 sec, 0.1 sec, 0.05 secに対して、各水池がどの作用荷重で最大水压が現れるかを式(3)にて計算して計算した。表-1に示すように水深100 mに対する最大水压の第1次共振周期は、 $h=2.0$ , 10.0における水池が0.2 sec, 0.27 sec近くなると、2の倍数倍化して、最大水压が現れる。第1次共振周期よりも大きい1.0 sec, 0.5 secの場合は、水池の全荷重を考慮して取扱うべきである。これらの全荷重を比較すると、周期が1.0 sec程度以上になると、表面波の影響や貯水池の大きさによる影響を考慮する必要はない、Westergaardの式を用いて計算せねばならないと考えよう。しかし、周期0.5 secの場合には、1.0 secの場合は大きな変動を示さないが、1.0 secの共振周期は必ず1.0 secが、水の圧縮性の影響が大きくなると、最大水压の値は必ず大きくなることを予想する。したがって、Westergaardの近似式では過小評価となる場合があるといえる。

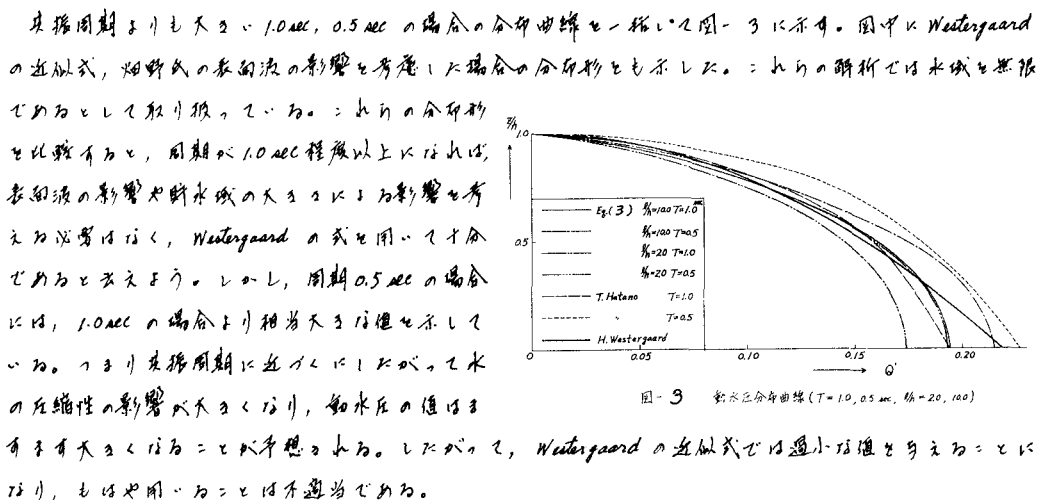


図-3 瞬間応答曲線( $T=1.0, 0.5$  sec,  $h=2.0, 10.0$ )

地盤周期が動水圧の実験周期より小い場合の動水圧分布形状は、いかにも被物線形状とは著しく異なり、大ものとなる。例として周期が0.1secの場合は図-4、図-5である。両図中の実線は $C=1200\text{m/sec}$ 、1葉鐘線は $C=1450\text{m/sec}$ 、複線は $C=1500\text{m/sec}$ に対するものであり、実線は短野氏の計算結果を比較のために引用したものである。

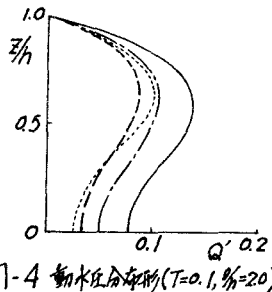


図-4 動水圧分布形( $T=0.1, \%h=20$ )

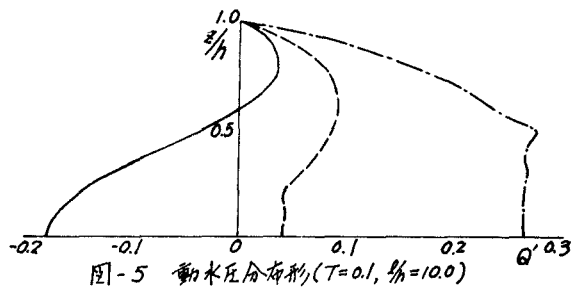


図-5 動水圧分布形( $T=0.1, \%h=10.0$ )

図からわかるように浸透の度合いによって分布形状は著しく変化し、その絶対値もかなり異なつたものとなる。同じ周期について、貯水域の影響を知りたいとしても、諸者は規則性は見出せず、ただ浸透の度合いによる分布形状に貯水有無は貯水域が大きくなると著しい傾向にあり、逆に貯水率が大きい場合には逆である。また同じ貯水量を持つ場合について比較すると、地盤周期が小くなるほど、分布形状は規則性を失う傾向がある。

#### 4. 実験結果とひびの考察

この実験で使用した模型は、高さ42cm、巾30cm、長さ90cmの寸法を持った厚さ2cmのアクリルで作成された水槽である。この模型を振動台上に固定し、水平運動振動を与えて、アム初大牌と大鉛直壁に働く動水圧、加速度を電気的に測定して記録した方法である。水在斜面高さ方向に時間隔4mmで計測してある。これらの同時測定記録から実験値を求め、分布形を描き、全動水圧を算出し、全動水圧と貯水量との関係を明らかにする。その結果を図-6に示す。図に示す実験系列(I, II, III, IV, V, VI)は水槽の長さがそれぞれ29, 59, 75, 90, 69, 48.6cmである。また実験系列(I, 2, 3, 4, 5)は水深がそれぞれ8, 12, 18, 22, 25cmである。○印は実験値を示し、実線は理論曲線を表すものである。実験V, VIは斜面傾斜角がそれぞれ45°, 30°である。

図より明らかのように、水深の増大とともに全圧力は増大する。しかもその増大の仕方は2次曲線的であり、全圧力は貯水量と水深増減の初期は大きい。同じ貯水量を持つ貯水池形状が累積式端底には、貯水率が1倍で、貯水率が2倍で貯水率が3倍では、水深が大きくなると全圧力も大きくなる。一方で、貯水率が1倍では小さく、貯水率が2倍で2倍以上になると全圧力も大きくなる。分布形のみから判断するに難く、太判断誤りが危険性もある。実際の解離計算において、全圧力を用いては不十分で、また浸透性の検討が必要であると思われる。

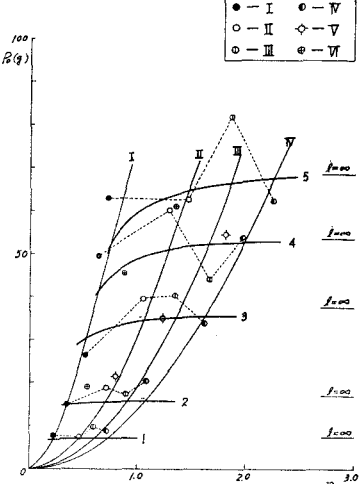


図-6 全動水圧と貯水量の関係